

ガソリン燃焼チーム クラスター大学04 (着火向上班)

東京工業大学 工学院 店橋 護, 志村 祐康, 源 勇気

超並列直接数値計算と複合レーザ計測による高EGR過給リーン条件下の着火・火炎伝播と壁面熱伝達機構の解明とモデル構築

目的

高圧・高レイノルズ数条件下の高EGR希薄乱流火炎の超並列直接数値計算

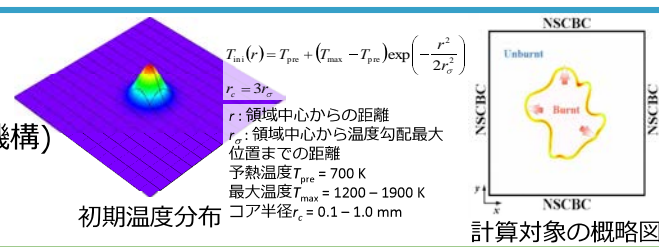
- ・乱流場が着火挙動に与える影響
- ・EGR率, 圧力等が着火に与える影響

- ・着火モデルの構築
に向けた現象解明
- ・着火性向上手法の提案

研究方法

高EGR過給リーン条件下の着火の直接数値計算(DNS)

- ・GPUを用いた並列計算
- ・メタン(詳細化学反応機構), ガソリンサロゲート(簡略化学反応機構)
- ・計算領域中心に高温領域を設定



進捗状況

- ・メタン・空気予混合気の着火の2D-DNS

✓ 計算条件

| | Re_λ | Re_I | $I [\mu\text{m}]$ | $u'_{rms} [\text{m/s}]$ | $u'_{rms}/I [10^3 \text{s}^{-1}]$ |
|-------|--------------|--------|-------------------|-------------------------|-----------------------------------|
| Case1 | 50.25 | 126.0 | 121.6 | 7.005 | 57.60 |
| Case2 | 167.3 | 516.0 | 249.1 | 14.01 | 56.24 |
| Case3 | 95.47 | 256.8 | 123.7 | 14.04 | 113.5 |
| Case4 | 25.61 | 59.52 | 57.56 | 6.991 | 121.5 |

u'_{rms}/I : 代表ひずみ速度

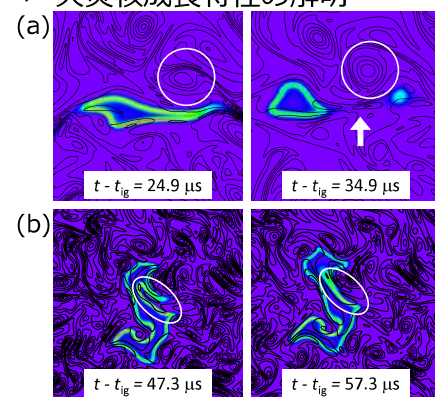
※ Case1の代表ひずみ速度は3次元乱流で想定されるものと等しく設定

※ Case1W – Case4W は計算領域が広い条件

※ Case3WではA~Eの5つの場所に高温領域をそれぞれ設定

※ 高温領域は層流条件で着火する $T_{max} = 1900$ K, $r_c = 0.5$ mm と設定

✓ 火炎核成長特性の解明



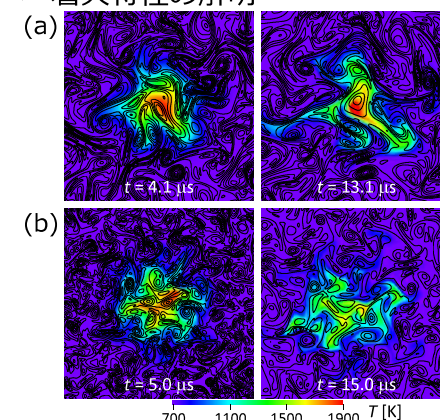
・(a)の丸で囲まれた渦によって、火炎の一部が大きなひずみ速度の影響を受け引き伸ばされ、局所的に消炎。

・(b)の丸で囲まれた領域において、火炎面によって未燃予混合気の囲い込みが発生。

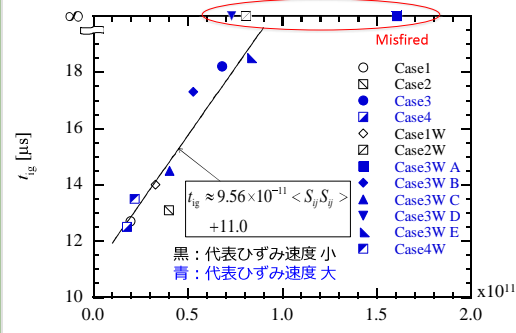
・局所的な消炎や、火炎面による未燃予混合気の囲い込みによって火炎面長さは大きく変動。

熱発生率分布及び渦度等価線 (a)Case2, $\Delta\omega_z = 2.0 \times 10^5 [\text{s}^{-1}]$ (b)Case1, $\Delta\omega_z = 8.0 \times 10^4 [\text{s}^{-1}]$ t_{ig} : 着火遅れ時間, $\Delta\omega_z$: 渦度等価線間隔

✓ 着火特性の解明



温度分布及び渦度等価線 (a)Case2(Ignited), $\Delta\omega_z = 2.0 \times 10^5 [\text{s}^{-1}]$ (b)Case3W A(Misfired), $\Delta\omega_z = 5.0 \times 10^5 [\text{s}^{-1}]$



・着火の成否は代表ひずみ速度に依らない。

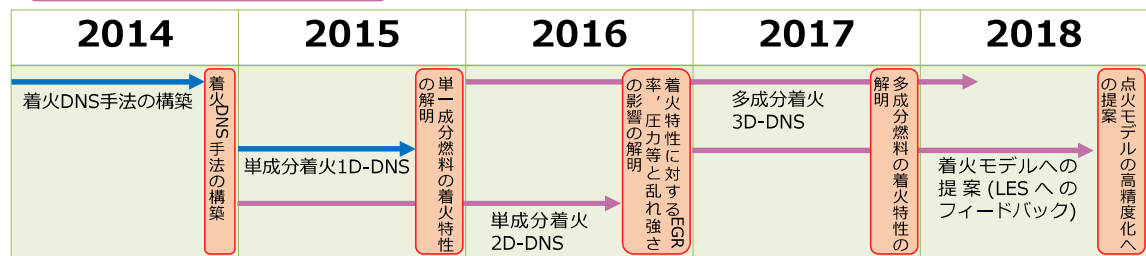
・高温領域近傍における渦およびひずみ速度の分布が着火の成否に影響。

・着火遅れ時間は、誘導期における高温領域の平均ひずみ速度の二乗に比例。

課題

研究計画

- ・メタン・空気予混合気の2D-DNSを実施しEGR率, 圧力の影響の解明。
- ・ガソリン・空気予混合気を対象とした着火の3D-DNSによる現象解明。



ガソリン燃焼チーム クラスター大学04 (火炎伝播促進班)

東京工業大学工学院 店橋 護, 志村 祐康, 源 勇気

超並列直接数値計算と複合レーザ計測による高EGR過給リーン条件下の着火・火炎伝播と壁面熱伝達機構の解明とモデル構築

目的

高圧・高レイノルズ数乱流条件下の高EGR希薄乱流火炎の三次元直接数値計算(DNS)

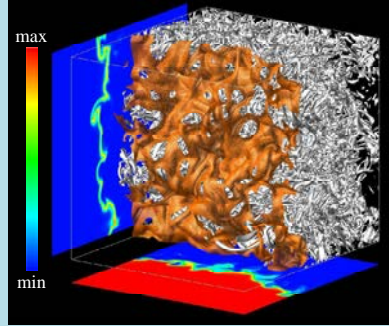
- 火炎伝播形態, 火炎構造の解明
- 乱流と化学反応の相互作用の解明
- 燃焼促進手法の提案
- サブグリッドスケール (SGS) 燃焼モデルの構築

研究方法

- 高EGR過給リーンバーン条件における乱流予混合火炎の三次元直接数値計算
Multi-timescale (MTS) 法, Correlated dynamic adaptive chemistry & transport (CO-DACT)を用いた3D-DNS
- 乱流燃焼モデル構築
DNS結果に基づくフラクタル・ダイナミックSGS燃焼モデルの静的・動的評価
Thin/Broken reaction zones (TRZ/BRZ) に分類される燃焼場および圧力変化を伴う燃焼場へのモデル拡張

進捗状況

メタン空気乱流予混合火炎のDNS
(クラスター大学08 徳島大学 名田准教授, 木戸口教授との共同実施)



Thin reaction zones (at $t = 0.83T_f$)

乱流燃焼モデルの開発

フラクタル・ダイナミック SGS (FDSGS) 燃焼モデル

$$\frac{S_T}{S_L} = \frac{A_T}{A_L} = \left(\frac{\alpha^4 \nu^3}{2\sqrt{2} C_s^2 A^6} \right)^{\frac{2-D_3}{4}} \left(\tilde{S}_{ij} \tilde{S}_{ij} - \text{div}(\tilde{u})^2 \right)^{-\frac{3(2-D_3)}{8}} + \frac{\delta_A}{\delta_L} \frac{\text{div}(\tilde{u})}{(\text{div}(u)_L)_{G=G_0}}$$

乱流運動の効果

膨張の効果

火炎面のinner cutoff (ε_i) の相関式

$$\alpha = \frac{\varepsilon_i}{\eta} = 8 \exp \left(C \frac{\delta_F}{D} \right)$$

$C = 6.0, D \approx 8.0\eta$

S_T : 乱流燃焼速度

S_L : 層流燃焼速度

A_T : 乱流火炎の火炎面面積

A_L : 層流火炎の火炎面面積

ν : 動粘性係数

δ_L : 火炎厚さ

u : 速度

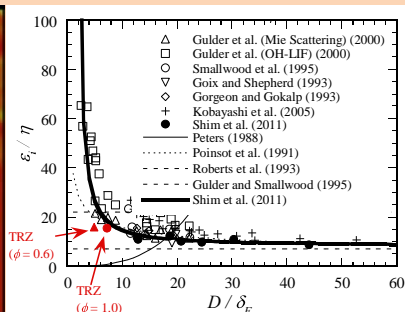
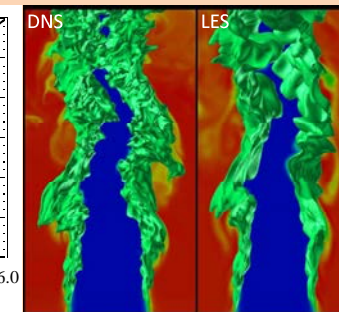
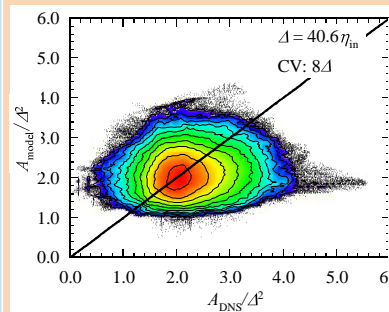
C_s : スマゴリンスキ一定数

Δ : フィルター幅

D_3 : フラクタル次元

S_{ij} : ひずみ速度

δ_A : フィルター操作を施した層流火炎の擬似火炎厚さ



Broken reaction zones (at $t = 0.74T_f$)

渦構造, 熱発生率の等値面と代表的な断面における温度および熱発生率分布

Gulder et al. (Mie Scattering) (2000)
Gulder et al. (OH-LIF) (2000)
Smallwood et al. (1995)
Goix and Shepherd (1993)
Gorjean and Gokalp (1993)
Kobayashi et al. (2005)
Shim et al. (2011)
Peters (1988)
Poinot et al. (1991)
Roberts et al. (1993)
Gulder and Smallwood (1995)
Shim et al. (2011)

TRZ ($\phi = 0.6$)

LES ($\phi = 1.0$)

D / δ_F

課題

研究計画

- 超希薄高EGR条件下のガソリンサロゲート空気予混合火炎の3D-DNS
- Thin/Broken reaction zonesに分類される燃焼場への燃焼モデルの拡張
- 圧力変化を伴う乱流燃焼場への燃焼モデルの拡張

| 2014 | 2015 | 2016 | 2017 | 2018 |
|-------------------|---------------------|---------------------------------------|---------------------|-----------------------|
| メタン・空気層流予混合火炎のDNS | で超希薄高EGR条件下の火炎特性の解明 | メタン・空気乱流予混合火炎の3D-DNS | 超希薄高EGR条件下のメタ3D-DNS | 超希薄高EGR条件下のガソリン3D-DNS |
| メタン・空気層流予混合火炎のDNS | 超希薄高EGR条件下の火炎特性の解明 | Thin/broken reaction zonesにおける火炎形態の解明 | 希薄高EGR条件下の火炎形態の解明 | 超希薄高EGR条件下の火炎形態の解明 |
| メタン・空気層流予混合火炎のDNS | 超希薄高EGR条件下の火炎特性の解明 | 超希薄高EGR条件下の火炎形態の解明 | 希薄高EGR条件下の火炎形態の解明 | 超希薄高EGR条件下の火炎形態の解明 |
| | | | DNS結果の解析 | 性の解明 |



ガソリン燃焼チーム クラスター大学04 (冷却損失低減班)

東京工業大学工学院 店橋 護, 志村 祐康, 源 勇気

超並列直接数値計算と複合レーザ計測による高EGR過給リーン条件下の着火・火炎伝播と壁面熱伝達機構の解明とモデル構築

目的

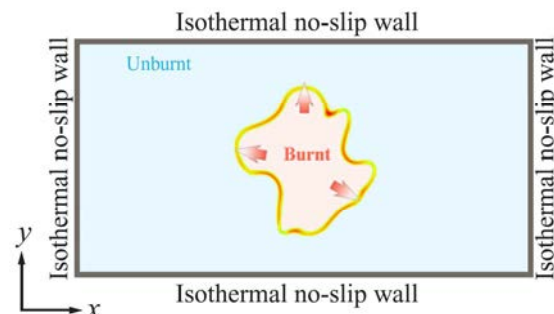
Heat loss characteristics of ultra-lean premixed flames with high EGR rate

- Effects of wall temperature and turbulence on wall heat flux

研究方法

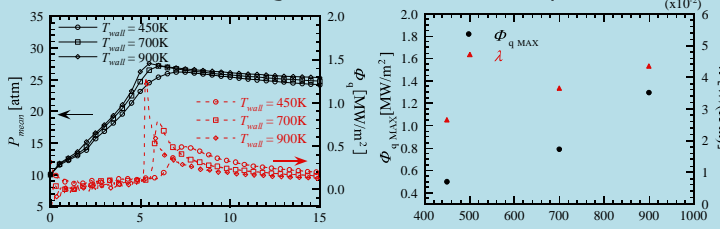
DNS of CH₄/air & n-C₇H₁₆/air premixed flames

- 1D and 2D-DNS using a detailed kinetic mechanism
- A constant volume configuration
- The initial temperature distribution is given as Gaussian distribution
- Ignition from a small high temperature kernel located at the center of the computational domain
- P_{ini} : 10 atm, ϕ : 0.5, EGR ratio: 20% for all cases

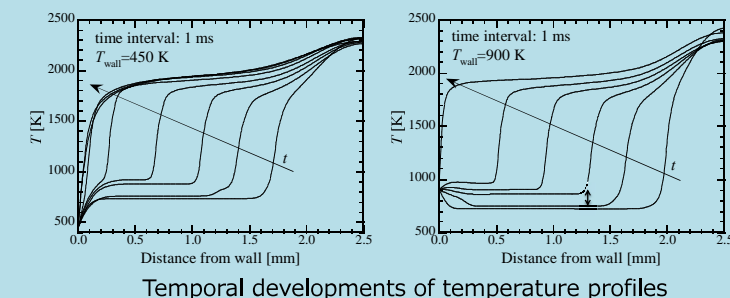


進捗状況

- 1D-DNS of n-C₇H₁₆/air premixed flames propagating to walls (クラスター大学08 徳島大学 名田准教授, 木戸口教授と共同実施)
- $T_{wall} = 450K, 700K, 900K$
- Maximum wall heat flux is sensitive to the wall temperature
 - Increasing temperature gradient on the wall
 - Increasing thermal conductivity near the wall



Temporal developments of mean ϕ_q max and λ as a function of wall temperature

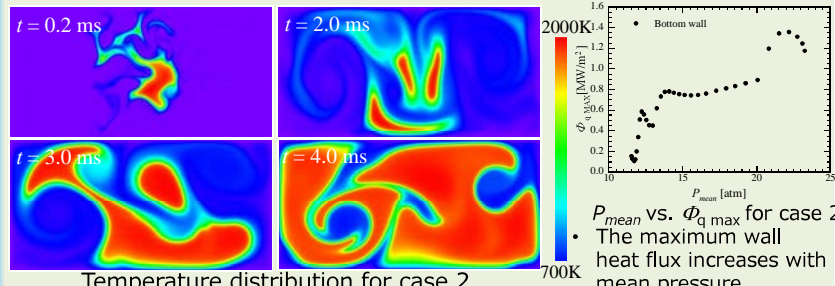


Temporal developments of temperature profiles

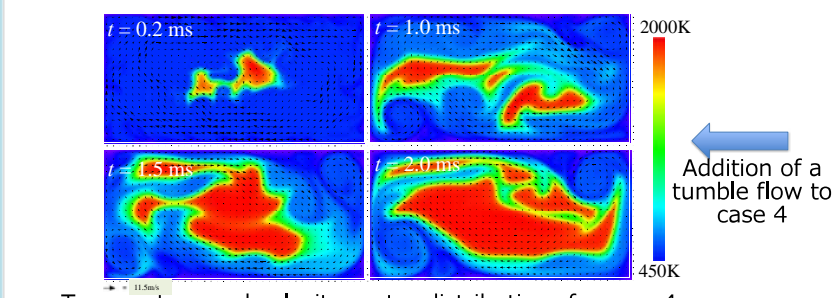
2D-DNS of CH₄/air turbulent premixed flames

| 2D-DNS | Re_λ | Re_I | u'^{rms} [m/s] | T_{wall} [K] |
|--------|--------------|--------|------------------|----------------|
| Case 1 | 50.3 | 126 | 7.01 | 450 |
| Case 2 | 50.3 | 126 | 7.01 | 700 |
| Case 3 | 27.6 | 65.7 | 3.94 | 450 |
| Case 4 | 27.6 | 65.7 | 3.94 | 450 |

- A mean tumble flow which is obtained from a preliminary DNS is added to the Case 4



Temperature distribution for case 2



Temperature and velocity vector distributions for case 4

課題

研究計画

- 密閉空間ガソリン・空気乱流予混合火炎のDNS解析
- 熱伝達モデルの構築(メタン)
- 壁面近傍の火炎伝播機構と壁面境界層構造の解明

